



Laboratorium EMVO Sp. J. Urbański, Pawelak
ul. Jasna 1
00-013 Warszawa

tel. +48 22 780 29 64
e-mail: laboratorium@emvo.pl



AB 1630

Sprawozdanie z pomiarów pól elektromagnetycznych - środowisko nr 10/06/OŚ/2023- P4-W



Nr i nazwa stacji	GRA3302A	
Adres	Grajewo, Mickiewicza 1, pow. grajewski, woj. podlaskie	
Opracowanie	Martyna Karczmarczyk	Specjalista ds. pomiarów
Autoryzacja	Andrzej Urbański	Kierownik Laboratorium
Podpis	Podpis jest prawidłowy Dokument podpisany przez Andrzej Urbański Data: 2023.06.07 08:17:39 CEST Powód: Zatwierdzam dokument	
Data	2023-06-06	

Spis treści

1. Informacje ogólne.....	3
2. Podstawa prawna.	3
3. Opis pomiarów.....	3
4. Zróżnicowanie dopuszczalne poziomy pól elektromagnetycznych.....	4
5. Charakterystyka źródeł PEM.....	5
6. Wyniki pomiarów.....	5
7. Stwierdzenie zgodności	6
8. Oświadczenie.....	8
9. Spis załączników.	8

1. Informacje ogólne.

Zleceniodawca	P4 sp. z o.o., ul. Wynałazek 1, 02-677 Warszawa osoba udzielająca informacji- Monika Bieroza
Istotne informacje dostarczone przez klienta	komplet informacji niezbędnych do wykonania pomiarów i opracowania sprawozdania
Dane otrzymane od klienta mogące mieć wpływ na ważność wyników	Dane anten sektorowych, dane anten radioliniowych, parametry pracy instalacji, ustawienie pochylenia anten
Prowadzący instalację	P4 sp. z o.o., ul. Wynałazek 1, 02-677 Warszawa
Lokalizacja obiektu	Grajewo, Mickiewicza 1, pow. grajewski, woj. podlaskie
Miejsce instalacji anten	Dach budynku
Miejsce instalacji urządzeń	Outdoor
Osoby wykonujące pomiar	Jarosław Buzafa
Data wykonania pomiaru	06.06.2023
Temperatura na początku pomiaru [°C]	23,0
Temperatura na koniec pomiaru [°C]	23,5
Warunki atmosferyczne	Brak opadów
Wilgotność na początku pomiaru [%]	47,0
Wilgotność na koniec pomiaru [%]	48,0
Godzina na początku pomiaru	08:20
Godzina na koniec pomiaru	09:58
Inne źródła pól elektromagnetycznych oznaczone na załączniku graficznym	Występują
Parametry pracy instalacji	Tryb eksploatacyjny

2. Podstawa prawna.

2.1 Normy i rozporządzenia:

- Obwieszczenie Ministra Klimatu i Środowiska z dnia 21 listopada 2022 r. w sprawie ogłoszenia jednolitego tekstu rozporządzenia Ministra Klimatu w sprawie sposobów sprawdzania dotrzymania dopuszczalnych poziomów pól elektromagnetycznych w środowisku (Dz.U. 2022 poz. 2630)
- Rozporządzenie Ministra Zdrowia z dnia 17 grudnia 2019 r. w sprawie dopuszczalnych poziomów pól elektromagnetycznych w środowisku (Dz.U. 2019 poz. 2448)
- Obwieszczenie Marszałka Sejmu Rzeczypospolitej Polskiej z dnia 1 grudnia 2022 r. w sprawie ogłoszenia jednolitego tekstu ustawy - Prawo ochrony środowiska (Dz.U. 2022 poz. 2556).

3. Opis pomiarów

Metodologia pomiarowa	Pomiary w oparciu o Rozporządzenie Ministra Klimatu z dnia 17 lutego 2020 r. w sprawie sposobów sprawdzania dotrzymania dopuszczalnych poziomów pól elektromagnetycznych w środowisku (Dz.U. 2022 poz. 2630).
Cel badań	Określenie wartości natężenia pola elektrycznego w miejscach dostępnych dla ludności.
Opis zestawu pomiarowego	Miernik Narda NBM 520, Sonda EF 9091, o zakresie pomiarowym 0,7 V/m - 300V/m pracująca w paśmie 0,1 – 90 GHz, świadectwo wydane przez Laboratorium Wzorców i Metrologii Pola Elektromagnetycznego, Instytut Telekomunikacji, Teleinformatyki i Akustyki Politechniki Wrocławskiej. Świadectwo ważne do 07.07.2023. Miernik Narda NBM 520, Sonda EF 9091 pracująca w zakresie temperatury -10°C - +50°C oraz wilgotności 5% - 95%. Niepewność rozszerzona wynosi 57% przy poziomie ufności 95% z uwzględnieniem współczynnika rozszerzenia k=2.
Wyposażenie pomocnicze	Termohigrometr Termoprodukt, typ: Termik+, Nr. inwentarzowy 37/WL, nr identyfikacyjny 700618, świadectwo wzorcowania nr 1763/AH/19 z dn. 29.07.2019 r. wydane przez Laboratorium Pomiarowe "MUTECH". Przymiar wstęgowy STABILA, Nr. inwentarzowy 36/WL, nr identyfikacyjny 31WL, świadectwo wzorcowania nr 6W1/1826/19 z dn. 02.08.2019 r. wydane przez Dyrektora Okręgowego Urzędu Miar w Gdańsku. GPS Garmin 64s okresowo sprawdzany w punktach osnowy geodezyjnej klasy 3 na podstawie licencji punktu, zgodnie z procedurą sprawdzeń okresowych IS/PO16-11/03.
Pomiary zostały wykonane	<ol style="list-style-type: none">1. na głównych i pomocniczych kierunkach pomiarowych, na kierunkach zbliżonych do azymutów anten oraz w dodatkowych pionach pomiarowych zgodnie z wymaganiami pkt 12, 13, 14 i 19 Rozporządzenia Ministra Klimatu z dnia 17 lutego 2020 r. (Dz.U. 2022 poz. 2630).2. na obszarze pomiarowym, dla którego, na podstawie uprzednio przeprowadzonych obliczeń stwierdzono w miejscach dostępnych dla ludności występowanie pól elektromagnetycznych o najwyższym poziomie, które pochodzą z badanej instalacji zgodnie z wymaganiami pkt 5 ppkt 2 oraz pkt 13 ppkt 1 Rozporządzenia Ministra Klimatu z dnia 17 lutego 2020 r. w sprawie sposobów sprawdzania dotrzymania dopuszczalnych poziomów pól elektromagnetycznych w środowisku (Dz.U. 2022 poz. 2630). Wyniki obliczeń nie uwzględniały parametrów pracy instalacji innych operatorów występujących na obiekcie bądź w obszarze pomiarowym.3. w miejscach dostępnych dla ludności.4. miejsca niedostępne podczas wykonywania pomiarów wskazane zostały w pkt 6 (tabeli wyniki pomiarów)
Szczególne warunki podczas wykonywania pomiarów	Pomiary wykonane zostały podczas obowiązywania w kraju stanu zagrożenia epidemicznego, zgodnie z art. 122a ust. 1b Ustawy z dnia 27 kwietnia 2001 r. – Prawo ochrony środowiska (Dz. U. z 2019 r. poz. 1396, z późn. zm.9)).
Warunki pracy urządzeń nadawczych	Tryb pracy eksploatacyjny.

4. Zróżnicowanie dopuszczalne poziomy pól elektromagnetycznych.

Zakresy znajdują się w Dzienniku Ustaw z dnia 17 grudnia 2019 r. przedstawione są w tabeli nr 2 (Dz. U. z 2019r. poz. 2448).

Parametr fizyczny	Składowa elektryczna E (V/m)	Składowa magnetyczna H (A/m)	Gęstość mocy S (W/m ²)
Zakres Częstotliwości pola elektromagnetycznego			
od 400 MHz do 2000 MHz	$1,375 \times f^{0,5}$	$0,0037 \times f^{0,5}$	f / 200
od 2 GHz do 300 GHz	61	0,16	10

5. Charakterystyka źródeł PEM.

Zgodnie z informacją otrzymaną od Klienta pomiary zostały wykonane przy ustawieniach pochylenia anten zgodnych z pkt. 13, ppkt 2 Rozporządzenia Ministra Klimatu z dnia 17 lutego 2020 roku.

Tabela 1. Anteny sektorowe - dane otrzymane od klienta

Charakterystyka promieniowania		kierunkowa																	
Rzeczywisty czas pracy [h/dobę]		24																	
Rodzaj wytwarzanego pola		stacjonarne																	
Lp	Wyszczególnienie	sektor 1				sektor 2				sektor 3									
I Nadajnik stacji bazowej:																			
1	Typ / Producent	RBS / SRAN Ericsson																	
2	Częstotliwość (pasmo) MHz	2600	800	2100	1800	900	2600	800	2100	1800	900	2600	800	2100	1800	900			
3	Maksymalna moc nadawana na sektor [dBm]	52,04	47,78	50,79	52,04	46,02	52,04	47,78	50,79	52,04	46,02	52,04	47,78	50,79	52,04	46,02			
II Obciążenie:																			
1	Typ anteny	Huawei ATR4518R6		Kathrein 742235		Kathrein 80010306		Huawei ATR4518R6		Kathrein 742235		Kathrein 80010306		Huawei ATR4518R6		Kathrein 742235		Kathrein 80010306	
2	Producent anteny	Huawei		Kathrein		Kathrein		Huawei		Kathrein		Kathrein		Huawei		Kathrein		Kathrein	
3	Nazwa anteny	14_DGHL NTUV	14_DGHL NTUV	13_D LNU	13_D LNU	11_GT	24_DGHL NTUV	24_DGHL NTUV	22_D LNU	22_D LNU	21_GT	34_DGHL NTUV	34_DGHL NTUV	32_D LNU	32_D LNU	33_GT			
4	Ilość anten	1		1		1		1		1		1		1		1			
5	Azymut	115				220				350									
6	Zakres kątów pochylenia anten [°]	0-10	0-10	0-6	0-6	0,5-9,5	0-10	0-10	0-6	0-6	0,5-9,5	0-10	0-10	0-6	0-6	0,5-9,5			
7	Wysokość zainst. n.p.t. [m]	21,35				21,35				21,35									
8	EIRP [W]	12036		19886		1879		12036		19886		1879		12036		19886		1879	

Tabela 2. Anteny radioliniowe- dane otrzymane od klienta

Charakterystyka promieniowania				kierunkowa			
Rzeczywisty czas pracy [h/dobę]				24			
Rodzaj wytwarzanego pola				stacjonarne			
Linia radiowa				Antena			
Lp	typ/producent	częstotliwość pracy [GHz]	moc wyjściowa [dBm]	typ/producent	średnica anteny [m]	azymut [°]	wysokość zainstal. [m]
1	OPTIX RTN/HUAWEI	80	18	VHLP2-80/Andrew	0,6	152	19,50
2	MINI-LINK/ERICSSON	80	18	ANT2 B 0.3 80 HP/Ericsson	0,3	208	19,00

6. Wyniki pomiarów.

Wyniki pomiarów pól elektromagnetycznych dla celów ochrony środowiska przedstawia poniższa tabela. Piony pomiarowe zostały przedstawione w zał. 2.

Nr PP	Pole-E [V/m]	Pole-E, +U [V/m]	Pole-H [A/m]	Pole-H +U [A/m]	Wys. pomiaru [m]	Opis pionu	Uwagi	WM _E	WM _H
1	1,1	1,73	0,003	0,005	0,3-2,0	N:53°39'04.2" E:22°27'14.5"	otoczenie stacji bazowej - 25m wzdłuż gł. osi promieniowania - GKP	0,062	0,063
2	1,3	2,04	0,003	0,005	0,3-2,0	N:53°39'03.8" E:22°27'15.8"	otoczenie stacji bazowej - 50m wzdłuż gł. osi promieniowania - GKP	0,073	0,074
3	1,4	2,20	0,004	0,006	0,3-2,0	N:53°39'02.9" E:22°27'18.1"	otoczenie stacji bazowej - 100m wzdłuż gł. osi promieniowania - GKP	0,079	0,080
4	1,3	2,04	0,003	0,005	0,3-2,0	N:53°39'02.6" E:22°27'19.4"	otoczenie stacji bazowej - 125m wzdłuż gł. osi promieniowania - GKP	0,073	0,074
5	1,3	2,04	0,003	0,005	0,3-2,0	N:53°39'02.2" E:22°27'20.7"	otoczenie stacji bazowej - 150m wzdłuż gł. osi promieniowania - GKP	0,073	0,074
6	1,2	1,88	0,003	0,005	0,3-2,0	N:53°39'01.9" E:22°27'21.9"	otoczenie stacji bazowej - 175m wzdłuż gł. osi promieniowania - GKP	0,067	0,068
7	1,2	1,88	0,003	0,005	0,3-2,0	N:53°39'01.5" E:22°27'22.9"	otoczenie stacji bazowej - 200m wzdłuż gł. osi promieniowania - GKP	0,067	0,068
8	1,1	1,73	0,003	0,005	0,3-2,0	N:53°39'01.3" E:22°27'23.6"	otoczenie stacji bazowej - 215m wzdłuż gł. osi promieniowania - GKP	0,062	0,063
9	1,2	1,88	0,003	0,005	0,3-2,0	N:53°39'03.9" E:22°27'12.3"	otoczenie stacji bazowej - 25m wzdłuż gł. osi promieniowania - GKP	0,067	0,068
10	1,4	2,20	0,004	0,006	0,3-2,0	N:53°39'03.3" E:22°27'11.3"	otoczenie stacji bazowej - 50m wzdłuż gł. osi promieniowania - GKP	0,079	0,080
11	1,3	2,04	0,003	0,005	0,3-2,0	N:53°39'02.8" E:22°27'10.5"	otoczenie stacji bazowej - 75m wzdłuż gł. osi promieniowania - GKP	0,073	0,074
12	1,5	2,36	0,004	0,006	0,3-2,0	N:53°39'02.3" E:22°27'09.7"	otoczenie stacji bazowej - 100m wzdłuż gł. osi promieniowania - GKP	0,084	0,086
13	1,4	2,20	0,004	0,006	0,3-2,0	N:53°39'01.6" E:22°27'08.5"	otoczenie stacji bazowej - 125m wzdłuż gł. osi promieniowania - GKP	0,079	0,080
14	1,3	2,04	0,003	0,005	0,3-2,0	N:53°39'01.0" E:22°27'07.6"	otoczenie stacji bazowej - 150m wzdłuż gł. osi promieniowania - GKP	0,073	0,074
15	1,3	2,04	0,003	0,005	0,3-2,0	N:53°39'00.4" E:22°27'06.8"	otoczenie stacji bazowej - 175m wzdłuż gł. osi promieniowania - GKP	0,073	0,074
16	1,2	1,88	0,003	0,005	0,3-2,0	N:53°38'59.8" E:22°27'05.9"	otoczenie stacji bazowej - 200m wzdłuż gł. osi promieniowania - GKP	0,067	0,068
17	1,1	1,73	0,003	0,005	0,3-2,0	N:53°38'59.4" E:22°27'05.2"	otoczenie stacji bazowej - 215m wzdłuż gł. osi promieniowania - GKP	0,062	0,063
18	1,3	2,04	0,003	0,005	0,3-2,0	N:53°39'05.6" E:22°27'13.8"	otoczenie stacji bazowej - 25m wzdłuż gł. osi promieniowania - GKP	0,073	0,074
19	1,4	2,20	0,004	0,006	0,3-2,0	N:53°39'08.0" E:22°27'13.5"	otoczenie stacji bazowej - 100m wzdłuż gł. osi promieniowania - GKP	0,079	0,080
20	1,4	2,20	0,004	0,006	0,3-2,0	N:53°39'11.2" E:22°27'12.9"	otoczenie stacji bazowej - 200m wzdłuż gł. osi promieniowania - GKP	0,079	0,080
21	1,3	2,04	0,003	0,005	0,3-2,0	N:53°39'11.6" E:22°27'12.9"	otoczenie stacji bazowej - 215m wzdłuż gł. osi promieniowania - GKP	0,073	0,074
22	0,9	1,41	0,002	0,004	0,3-2,0	N:53°39'06.3" E:22°27'16.1"	otoczenie stacji bazowej - GKP	0,050	0,051
23	1,1	1,73	0,003	0,005	0,3-2,0	N:53°39'04.7" E:22°27'16.2"	otoczenie stacji bazowej - GKP	0,062	0,063
24	1,2	1,88	0,003	0,005	0,3-2,0	N:53°39'02.9" E:22°27'13.3"	otoczenie stacji bazowej - GKP	0,067	0,068
25	1,1	1,73	0,003	0,005	0,3-2,0	N:53°39'04.7" E:22°27'10.7"	otoczenie stacji bazowej - GKP	0,062	0,063
26	0,9	1,41	0,002	0,004	0,3-2,0	N:53°39'06.6" E:22°27'10.7"	otoczenie stacji bazowej - GKP	0,050	0,051
27	1,2	1,88	0,003	0,005	0,3-2,0	N:53°39'03.3" E:22°27'15.6"	otoczenie stacji bazowej - 50m wzdłuż gł. osi promieniowania - GKP	0,067	0,068
28	1,3	2,04	0,003	0,005	0,3-2,0	N:53°39'02.9" E:22°27'11.7"	otoczenie stacji bazowej - 50m wzdłuż gł. osi promieniowania - GKP	0,073	0,074

A	1,4	2,20	0,004	0,006	0,3-2,0	N:53°39'10.6" E:22°27'13.8"	Świerkowa 2, pomiar przed posesją - DPP	0,079	0,080
B	1,2	1,88	0,003	0,005	0,3-2,0	N:53°39'10.0" E:22°27'14.2"	Strażacka 1a, pomiar przed posesją - DPP	0,067	0,068
C	0,9	1,41	0,002	0,004	0,3-2,0	N:53°39'08.9" E:22°27'11.8"	11-go Listopada 6, pomiar przed posesją - DPP	0,050	0,051
D	1,1	1,73	0,003	0,005	0,3-2,0	N:53°39'08.5" E:22°27'12.1"	11-go Listopada 4, pomiar przed posesją - DPP	0,062	0,063
E	1,3	2,04	0,003	0,005	0,3-2,0	N:53°39'08.2" E:22°27'12.8"	11-go Listopada 2, pomiar przed posesją - DPP	0,073	0,074
F	0,9	1,41	0,002	0,004	0,3-2,0	N:53°39'07.0" E:22°27'10.8"	Strażacka 3, pomiar przed posesją - DPP	0,050	0,051
G	0,9	1,41	0,002	0,004	0,3-2,0	N:53°39'06.7" E:22°27'09.7"	Strażacka 3a, pomiar przed posesją - DPP	0,050	0,051
H	0,8	1,26	0,002	0,003	0,3-2,0	N:53°39'06.3" E:22°27'08.9"	Strażacka 5, pomiar przed posesją - DPP	0,045	0,046
I	1,3	2,04	0,003	0,005	0,3-2,0	N:53°39'06.1" E:22°27'13.2"	Mickiewicza 1, pomiar przed budynkiem - DPP	0,073	0,074
J	1,2	1,88	0,003	0,005	0,3-2,0	N:53°39'05.4" E:22°27'13.5"	Mickiewicza 1, pomiar przed budynkiem - DPP	0,067	0,068
K	1,2	1,88	0,003	0,005	0,3-2,0	N:53°39'04.5" E:22°27'14.2"	Mickiewicza 1, pomiar przed budynkiem - DPP	0,067	0,068
L	1,4	2,20	0,004	0,006	0,3-2,0	N:53°39'03.6" E:22°27'11.1"	Mickiewicza 3, pomiar przed budynkiem - DPP	0,079	0,080
M	1,2	1,88	0,003	0,005	0,3-2,0	N:53°38'59.8" E:22°27'05.7"	Mickiewicza 12, pomiar przed budynkiem - DPP	0,067	0,068
N	1,0	1,57	0,003	0,004	0,3-2,0	N:53°39'01.9" E:22°27'11.8"	Mickiewicza 6a, pomiar przed budynkiem - DPP	0,056	0,057
O	1,2	1,88	0,003	0,005	0,3-2,0	N:53°39'02.7" E:22°27'14.1"	Osiedle Centrum 3, pomiar przed budynkiem - DPP	0,067	0,068
P	1,0	1,57	0,003	0,004	0,3-2,0	N:53°39'01.9" E:22°27'15.2"	Mickiewicza 6b, pomiar przed budynkiem - DPP	0,056	0,057
R	1,3	2,04	0,003	0,005	0,3-2,0	N:53°39'03.4" E:22°27'16.1"	Mickiewicza 6/4, pomiar przed budynkiem - DPP	0,073	0,074
S	1,3	2,04	0,003	0,005	0,3-2,0	N:53°39'04.1" E:22°27'16.7"	Mickiewicza 2, pomiar przed budynkiem - DPP	0,073	0,074
T	1,4	2,20	0,004	0,006	0,3-2,0	N:53°39'02.9" E:22°27'17.7"	Łtcka 22/24/26, pomiar przed budynkiem - DPP	0,079	0,080
U	1,3	2,04	0,003	0,005	0,3-2,0	N:53°39'02.7" E:22°27'20.2"	Osiedle Centrum 24, pomiar przed budynkiem - DPP	0,073	0,074
W	1,3	2,04	0,003	0,005	0,3-2,0	N:53°39'02.1" E:22°27'19.5"	Osiedle Centrum 27a, pomiar przed budynkiem - DPP	0,073	0,074

Wynik pomiaru pole - E [V/m] - maksymalna wartość chwilowa zmierzona w danym pionie pomiarowym (uśredniona na podstawie punktu 11 załącznika do Rozporządzenia Ministra Klimatu z dnia 17 lutego 2020 r. w sprawie sposobów sprawdzania dotrzymania dopuszczalnych poziomów pól elektromagnetycznych w środowisku (Dz.U. 2022 poz. 2630)). Zgodnie z pkt. 7 załącznika do Rozporządzenia Ministra Klimatu z dnia 17 lutego 2020 r. w sprawie sposobów sprawdzania dotrzymania dopuszczalnych poziomów pól elektromagnetycznych w środowisku (Dz.U. 2020 poz. 258, Dz.U. 2022 poz. 1121) nie stosuje się poprawek pomiarowych.

Przyjęto najniższą dopuszczalną wartość składowej elektrycznej pola dla objętego pomiarami zakresu częstotliwości $\min(ME_{gr}) = 28 \text{ V/m}$ oraz składowej magnetycznej $\min(MH_{gr}) = 0,073 \text{ A/m}$.

* - wartość zmierzona poniżej zakresu akredytacji. Do obliczeń przyjęto wartość zgodną z dolną granicą akredytowanego zakresu pomiarowego metody.

GKP - główne kierunki pomiarowe

PKP - pomocnicze kierunki pomiarowe

DPP - dodatkowe punkty pomiarowe

PP - pion pomiarowy

U - niepewność pomiarowa rozszerzona, przy poziomie ufności 95%, z uwzględnieniem współczynnika rozszerzenia $k=2$

WM_E - wartość wskaźnikowa poziomu emisji pól elektromagnetycznych dla miejsc dostępnych dla ludności dla składowej elektrycznej pola

WM_H - wartość wskaźnikowa poziomu emisji pól elektromagnetycznych dla miejsc dostępnych dla ludności dla składowej magnetycznej pola

7. Stwierdzenie zgodności

Na podstawie wytycznych podanych w Rozporządzeniu Ministra Zdrowia z dnia 17 grudnia 2019 r. w sprawie dopuszczalnych poziomów pól elektromagnetycznych w środowisku (Dz.U. 2019 poz. 2448) oraz sposobów sprawdzania dotrzymania tych poziomów zgodnie z Rozporządzeniem Ministra Klimatu z dnia 17 lutego 2020 r. w sprawie sposobów sprawdzania dotrzymania dopuszczalnych poziomów pól elektromagnetycznych w środowisku (Dz.U. 2022 poz. 2630), dotyczących źródła wymagań, które muszą być spełnione, w oparciu o zasadę podejmowania decyzji zgodną z pkt. 26 Rozporządzenia Ministra Klimatu z dnia 17 lutego 2020 r. (Dz.U. 2022 poz. 2630), na podstawie wyników pomiarów pól elektromagnetycznych wykonanych w dniu 06.06.2023 stwierdzono, że wszystkie wyniki przeprowadzonych pomiarów w danym obszarze pomiarowym oraz wyznaczone na tej podstawie wskaźniki WME oraz WMH są mniejsze od wartości dopuszczalnych – zgodnie z przepisami wydanymi na podstawie art. 122 ust. 1 ustawy z dnia 27 kwietnia 2001 r. – Prawo ochrony środowiska – załącznikiem do Rozporządzenia Ministra Klimatu i Środowiska z dnia 17 lutego 2020 r. w sprawie sposobów sprawdzania dotrzymania dopuszczalnych poziomów pól elektromagnetycznych w środowisku (Dz.U. 2022 poz. 2630, pkt 26).

8. Oświadczenie.

Wyniki badania odnoszą się wyłącznie do badanego obiektu.

Bez pisemnej zgody sprawozdanie nie może być powielane inaczej, jak tylko w całości.

Uwagi i zastrzeżenia przyjmowane są w formie pisemnej.

9. Spis załączników.

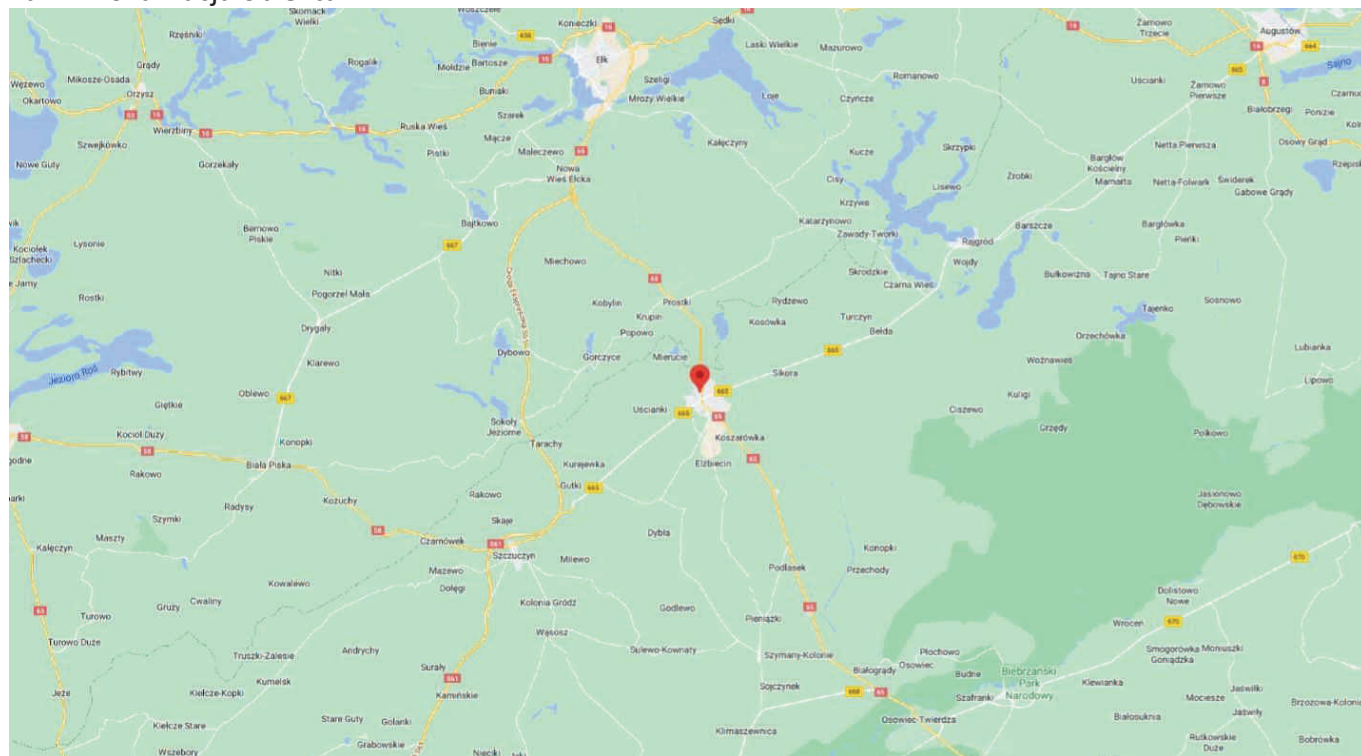
Zał. 1. Lokalizacja obiektu.

Zał. 2. Widok pionów pomiarowych

Zał. 3. Załączniki graficzne

Koniec sprawozdania

Załącznik 1. Lokalizacja obiektu



Współrzędne geograficzne


długość: 22°27'13.42"E


szerokość: 53°39'04.70"N

Załącznik 2. Widok pionów pomiarowych




LEGENDA:

 inna instalacja radiokomunikacyjna

 brak dostępu

 pion pomiaru

 antena sektorowa

 antena radioliowa

Skala: 1:2500



Załącznik 3. Załączniki graficzne.

